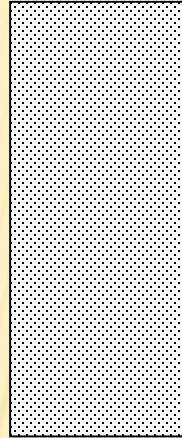


**SEPARACION DE FASES POR MECANICA DE
LOS FLUIDOS
CURSO 2023**

SEDIMENTACION

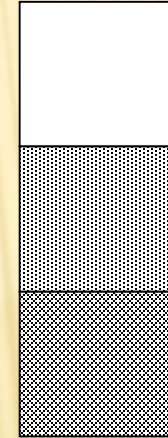
Líquido turbio



Líquido claro

Partículas pequeñas

Partículas grandes



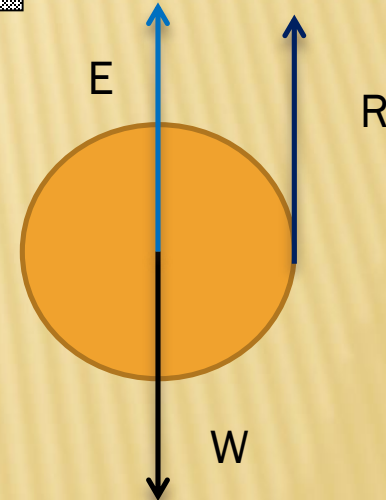
Fuerzas que actúan

Peso de la partícula = $mg = \rho_s V_g = \pi D^3 \rho_s g / 6$ (descendente)

Fuerza de flotación = $\pi D^3 \rho g / 6$ (ascendente)

Fuerza de frotamiento = $C_d \rho A V^2 / 2$ (De MDF) es mas difícil de aplicar

Se utiliza en su lugar : $A \rho v^2 \cdot \Phi_1(Re) = (\pi/4) D^2 \rho v^2 \cdot \Phi_1(Re)$ (ascendente)



En equilibrio se verifica que las tres fuerzas se igualan

$$\pi D^3 \rho_s g / 6 = \pi D^3 \rho g / 6 + (\pi / 4) D^2 \rho v^2 \cdot \Phi_1(\text{Re})$$

De donde se despeja v (velocidad de sedimentación)

$$v = \sqrt{(4D(\rho_s - \rho)g) / (6\rho \Phi_1(\text{Re}))}$$

$$\Phi_1 = 12/\text{Re} \text{ para } \text{Re} < 2$$

$$\Phi_1 = 12/\text{Re}(1 + 0,14\text{Re}^{0,7}) \text{ para } 2 < \text{Re} < 2000$$

$$\Phi_1 = 0,25 \text{ para } 3000 < \text{Re} < 150000$$

Para partículas no esféricas se usa el diámetro equivalente

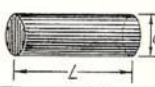
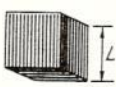
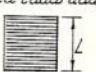
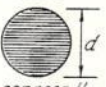

forma de la partícula	dimensiones características	diámetro equivalente D_e	esfericidad	V/A máx. (con relación al cubo)
 cilindro	$L=4d$	$1,81d$	0,74	0,53
	$L=2d$	$1,44d$	0,85	0,65
 cubo	-	$1,24L$	0,806	1,00
 placa cuadrada espesor = H	$H=0,2L$	$0,73L$	0,58	0,33
	$H=0,02L$	$0,34L$	0,18	0,073
	$H=0,01L$	$0,25L$	0,12	0,05
 disco espesor = H	$H=0,2d$	$0,67d$	0,72	0,36
	$H=0,02d$	$0,31d$	0,19	0,075
	$H=0,01d$	$0,25d$	0,115	0,045
 esfera	-	d	1,00	0,83

Fig. 1. — Valores del diámetro equivalente, D_e , de la esfericidad, y del cociente V/A para diversas formas de partículas. (Datos de CROFT.)

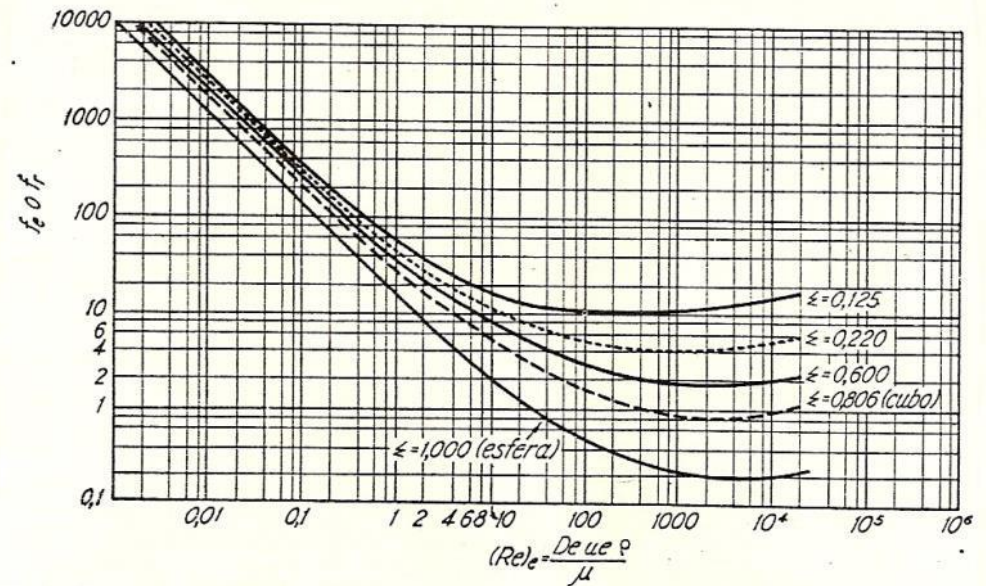
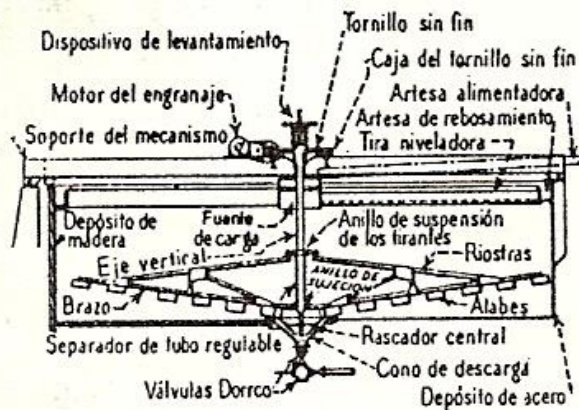
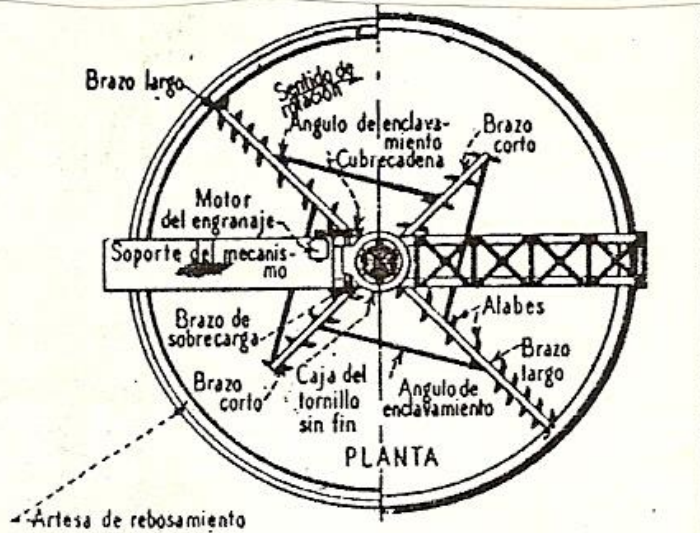


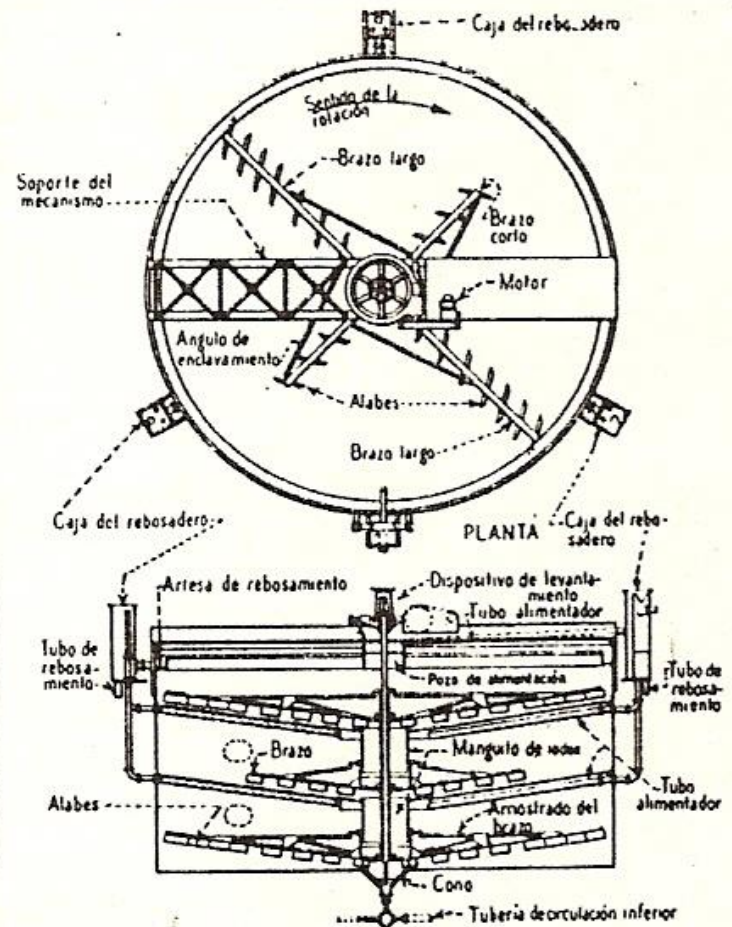
Fig. 2. — Valores que adopta el coeficiente de frotamiento, f , en función del número de REYNOLDS, $(Re)_e$, y de la esfericidad, Σ , de las partículas (WADELL).

SEDIMENTADORES



SECCION VERTICAL

Fig. 1. El espesador Dorr.



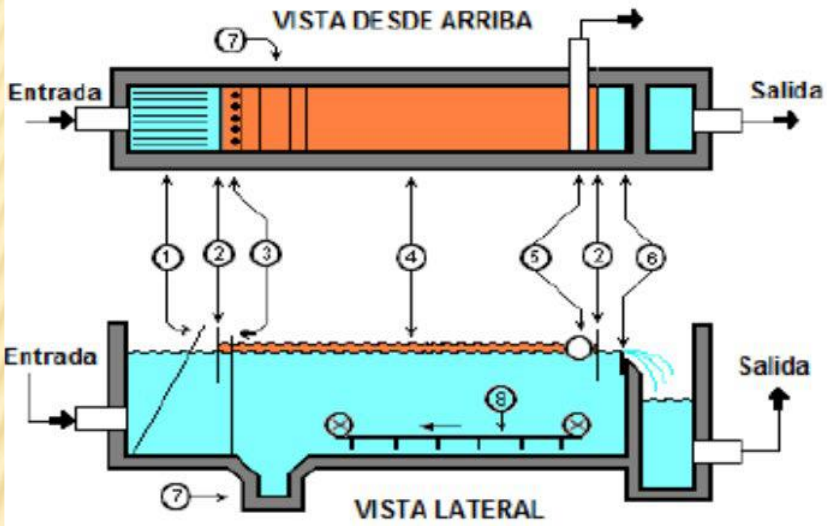
SECCION DEL ALZADO

Fig. 2. El espesador Dorr de bateas.

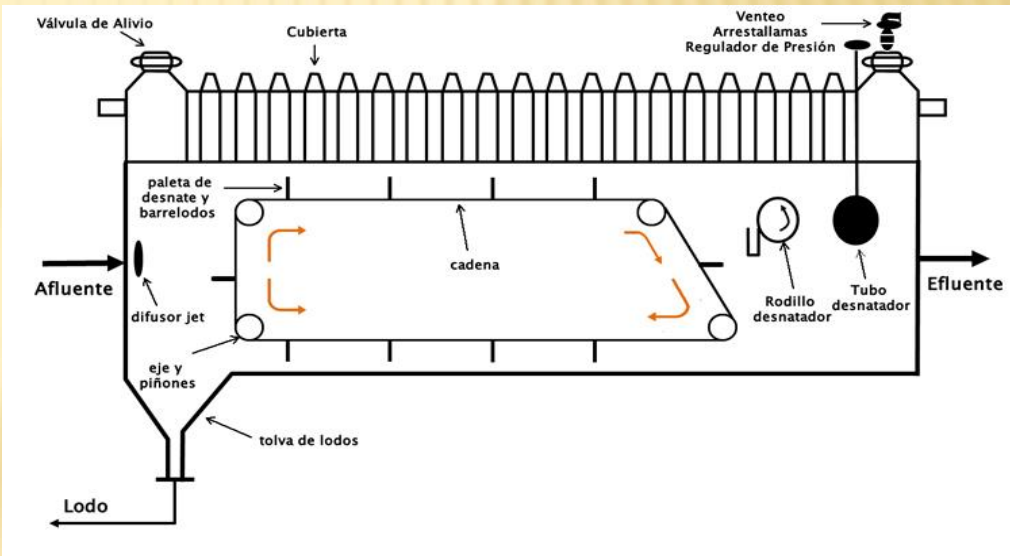
SEDIMENTADORES



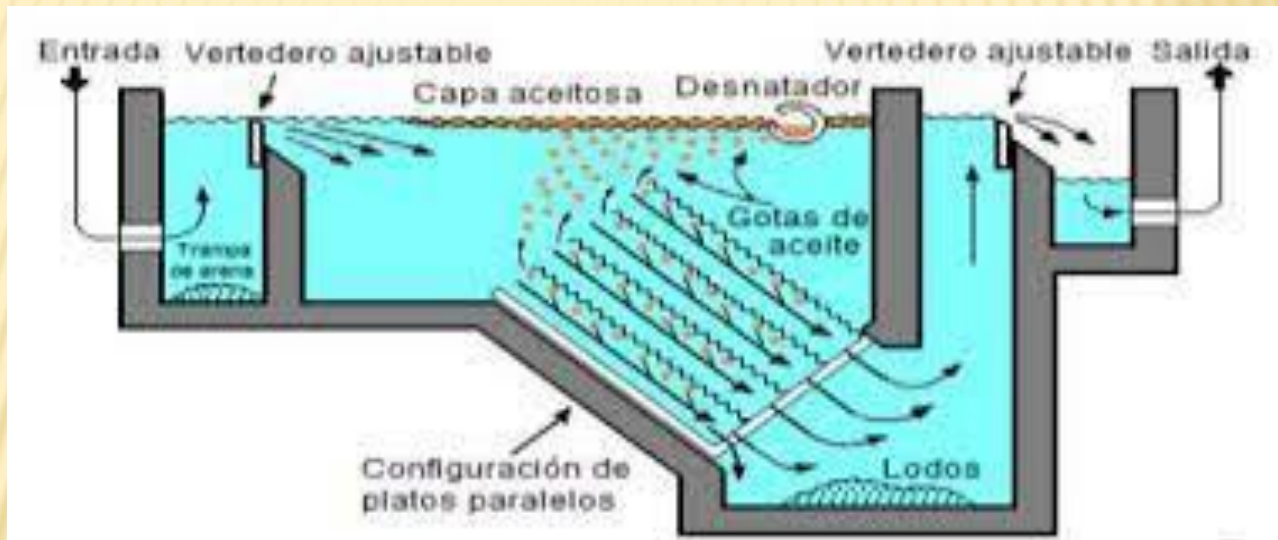
SEPARADOR API



- 1 Trampa de basura (barras inclinadas)
- 2 Baffles para retención de aceite
- 3 Distribuidores de flujo (barras verticales)
- 4 Capa de aceite
- 5 Tubo ranurado desnator
- 6 Muro de rebose ajustable
- 7 Sumidero para lodos
- 8 Cadena para arrastrar lodos



Separador CPI (interceptor de placas corrugadas)



CLASIFICACIÓN HIDRÁULICA

$$v_1 = k.(D_1)^{1/2}$$

$$v_2 = k.(D_2)^{1/2}$$

$$v_1 = K (\rho_{s1} - \rho)^{1/2}$$

$$v_2 = K (\rho_{s2} - \rho)^{1/2}$$

$$v_1 = K [(\rho_{s1} - \rho) D_1 / \rho]^{1/2}$$

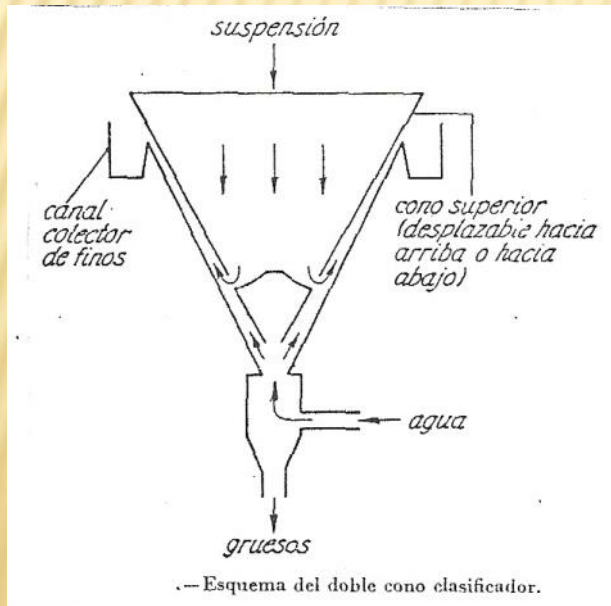
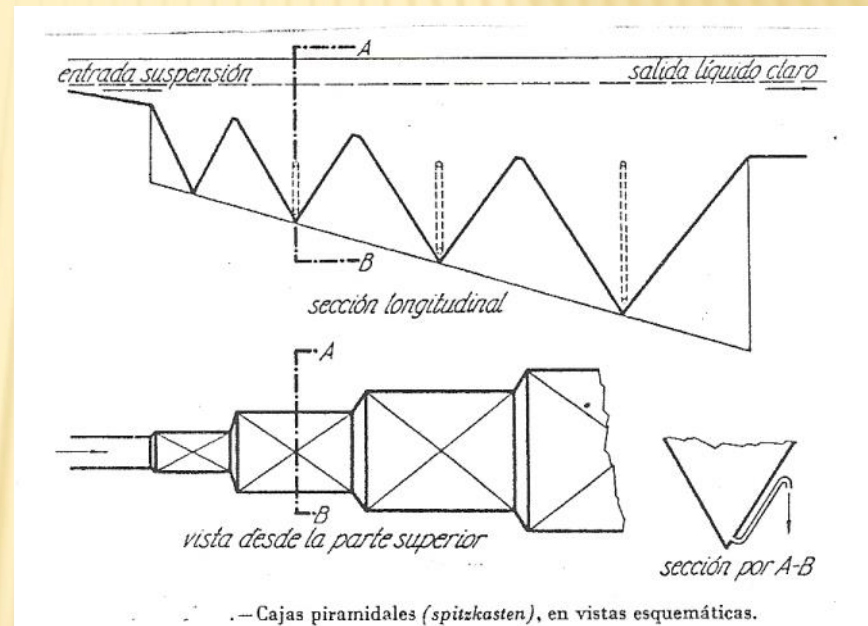
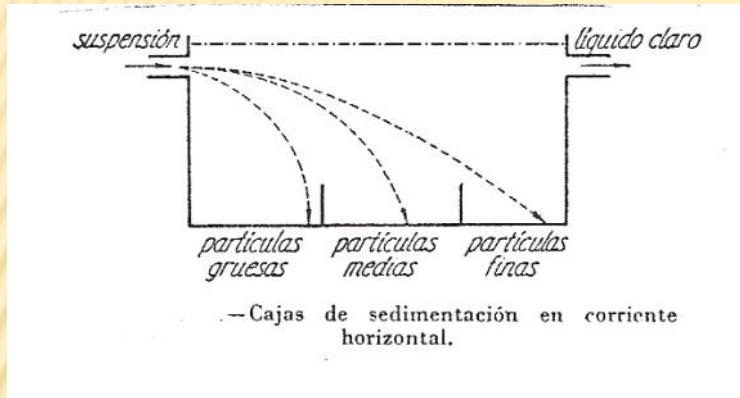
$$v_2 = K [(\rho_{s2} - \rho) D_2 / \rho]^{1/2}$$



Líquido y
partículas
livianas

Partículas
densas

EQUIPOS PARA CLASIFICACIÓN HIDRÁULICA



Diseño de un sedimentador rectangular

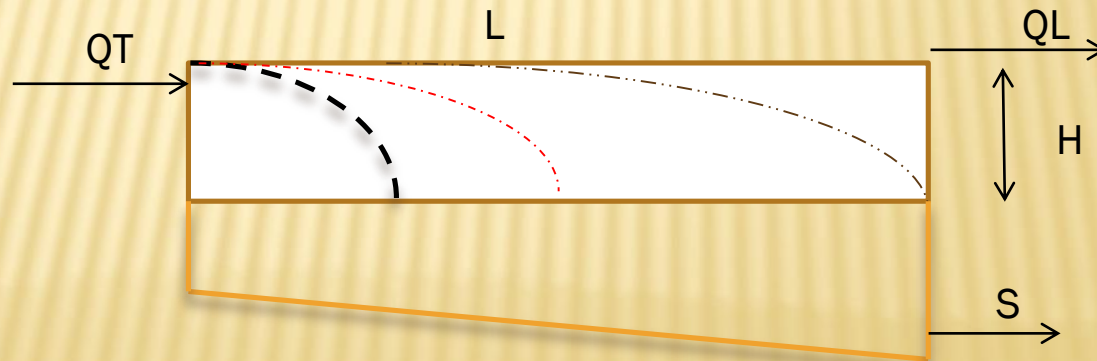
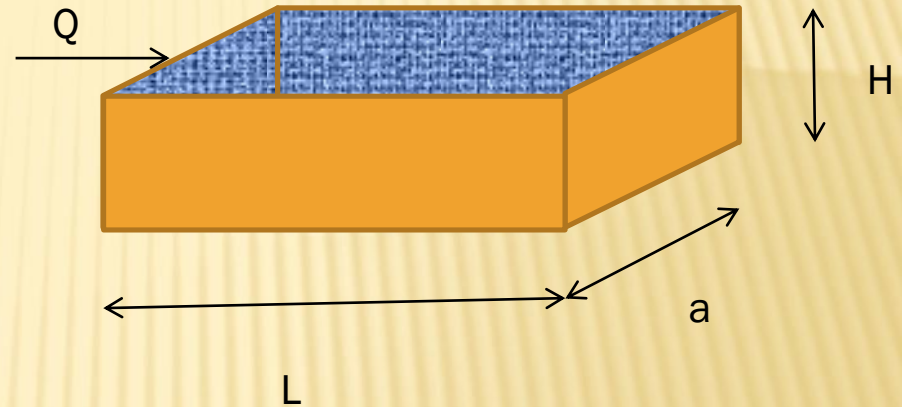
1- Calculo Vs

2- Fijo el $Q = V.A = V.H.a$

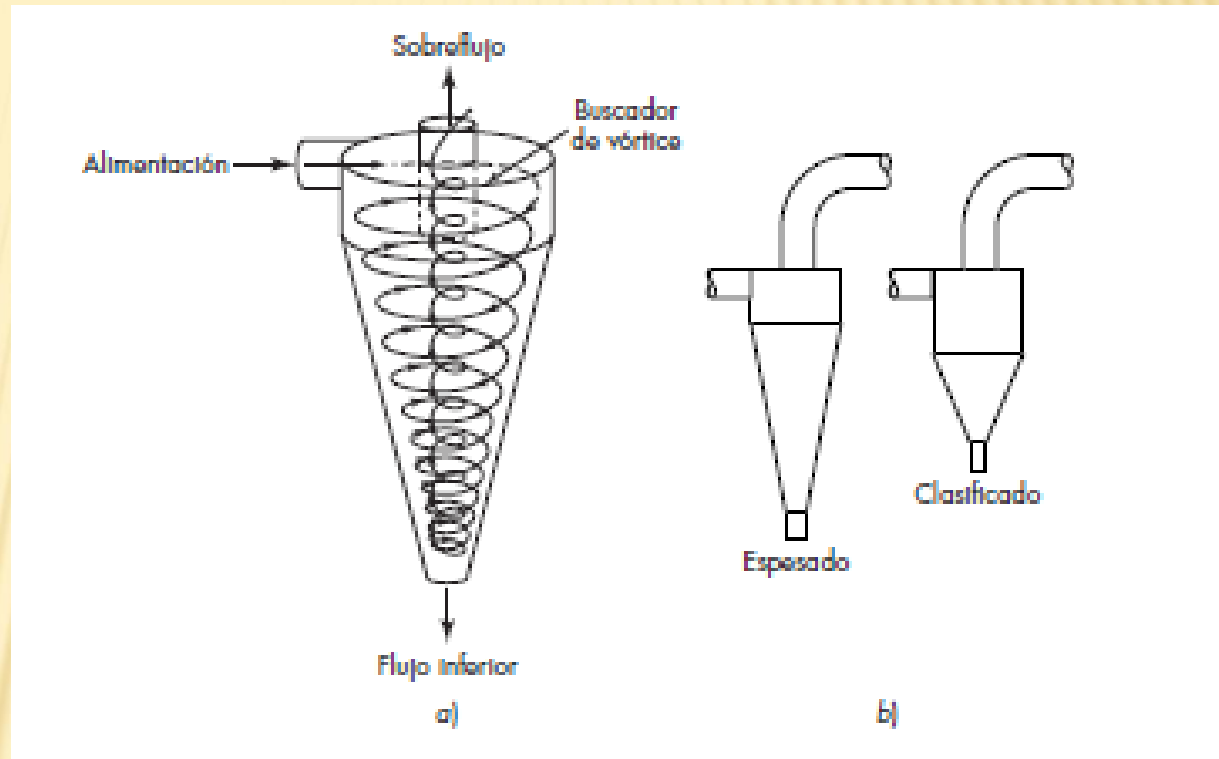
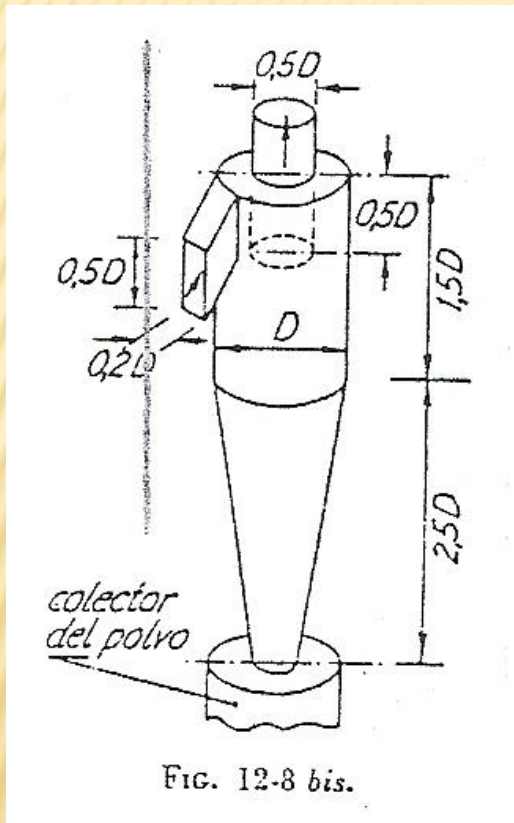
$$V = Q/H.a$$

3- $v_s = H/t \Rightarrow t = H/v_s$

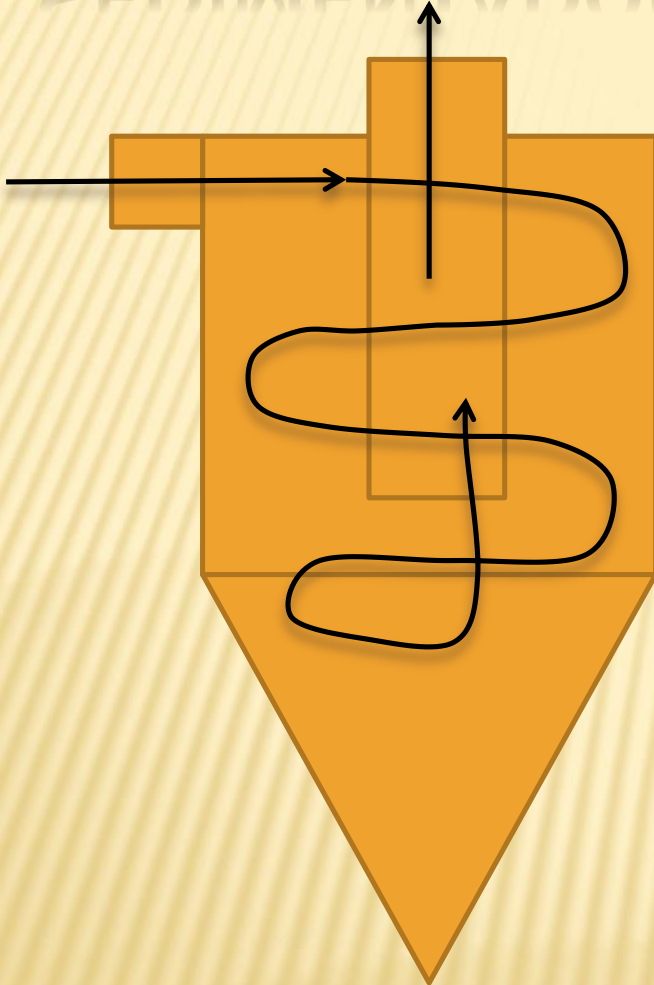
4- $V = t.L \Rightarrow$ saco L



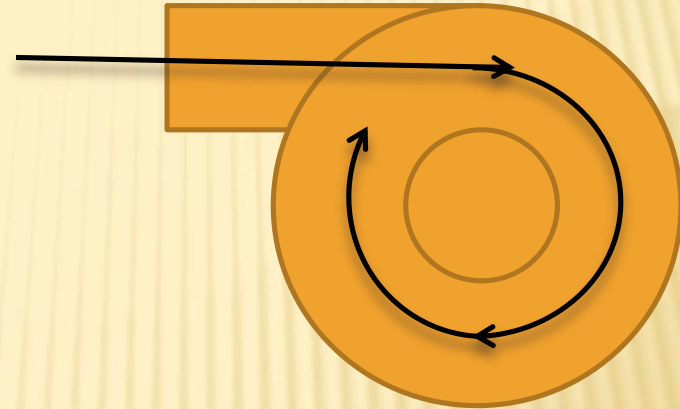
SEDIMENTADORES CENTRÍFUGOS: CICLONES



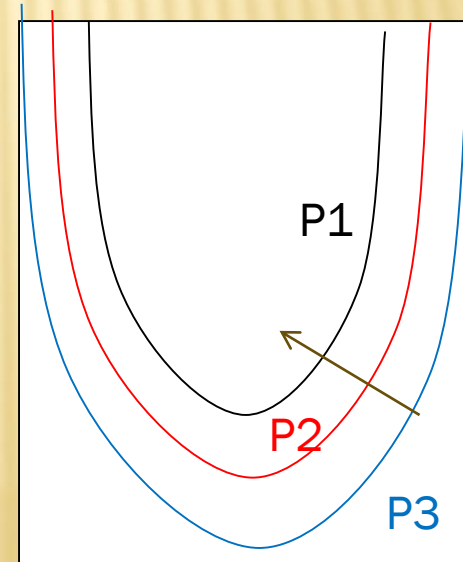
SEDIMENTADORES CENTRÍFUGOS CICLON



Corte vertical



Vista superior



Distribución de Presiones en un vórtice forzado



**Advanced
Cyclone
Systems**

SEDIMENTACIÓN CENTRÍFUGA APLICADA A LOS CICLONES

✘ $F_c = mv_c^2/r = Wv_c^2/gr$

Partícula más fina colectada.

El gas más las partículas entran al ciclón en forma espiral con una velocidad V_e y un diámetro de espiral d . Si designamos a N_s = número de espiras y R_c = radio del ciclón ($D/2$) la distancia recorrida por el gas en el ciclón = $2\pi R_s \cdot N_s$

$$F_c = mv_c^2/r = W v_c^2/gr$$

$$\text{Tiempo recorrido } t = 2\pi R_c \cdot N_s / V_e$$

$$\text{Velocidad de deriva (de la formula de Stokes : } g \cdot d_g^2 (\rho_s - \rho_g) / (18\pi)$$

$$V_d = (V_e^2 / R_c) \cdot d_g^2 (\rho_s - \rho_g) / 18\pi$$

$$V = e/t = d \cdot V_e / 2\pi R_s \cdot N_s = (V_e^2 / R_c) \cdot d_g^2 (\rho_s - \rho_g) / 18\pi$$

SEDIMENTADORES CENTRÍFUGOS

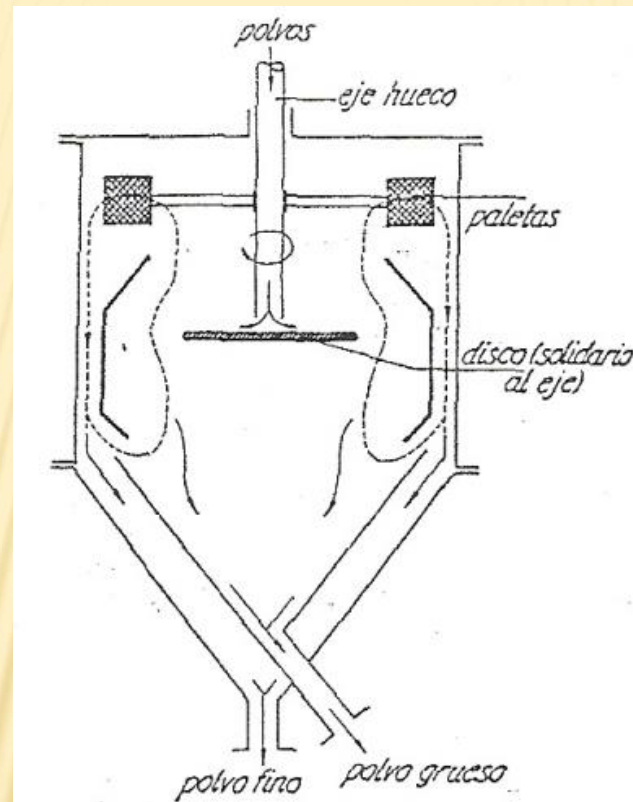
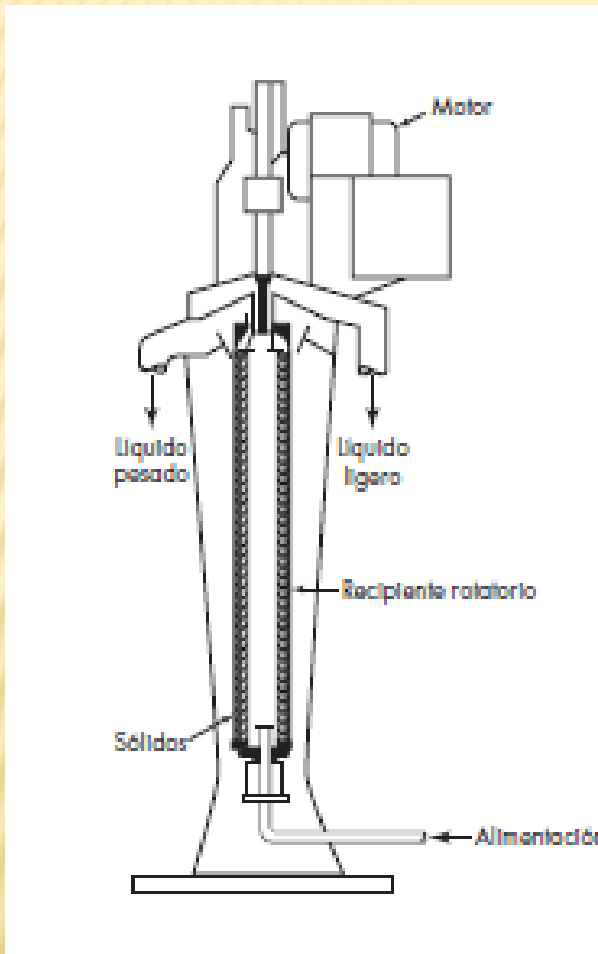
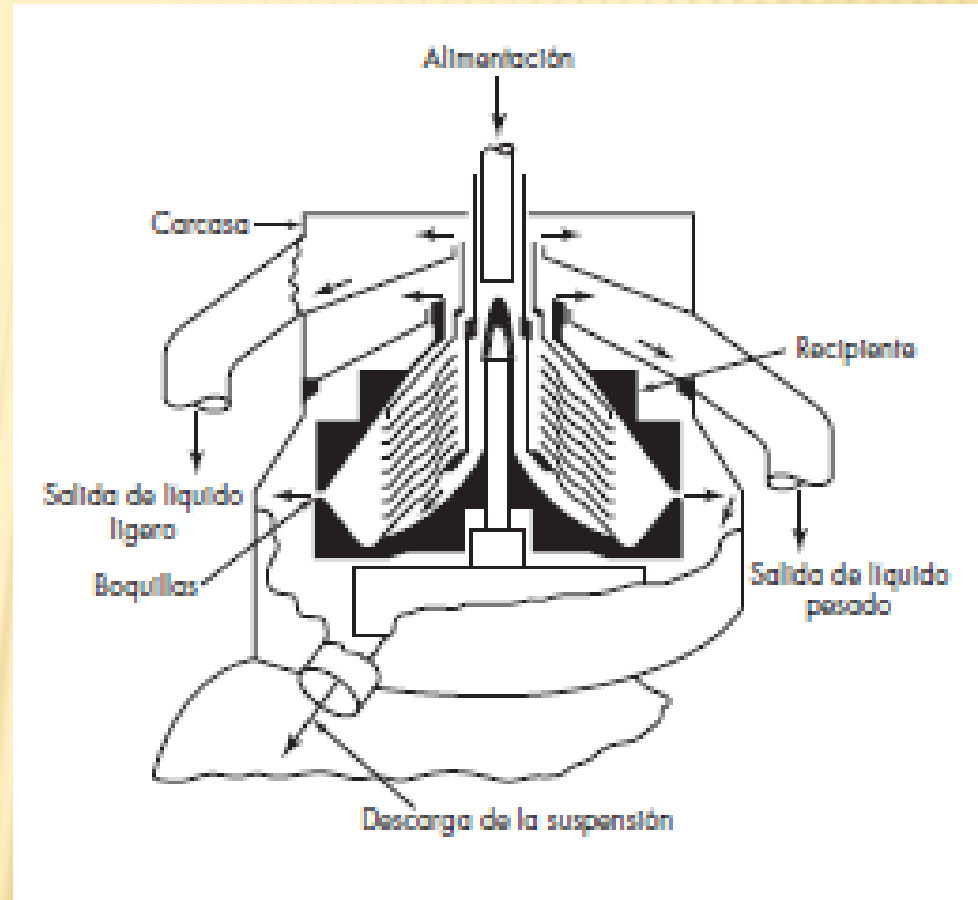


FIG. 12-9.—Separador clasificador de polvos.
(Las líneas de trazos indican la circulación de aire creada por el giro de las paletas.)

SEDIMENTADORES CENTRÍFUGOS: CENTRÍFUGAS



Cilindro de eje vertical



Centrifuga de discos

Teoría de la sedimentación aplicada a las centrífugas

Velocidad terminal

$$u_t = \frac{\omega^2 r (\rho_p - \rho) D_p^2}{18\mu}$$

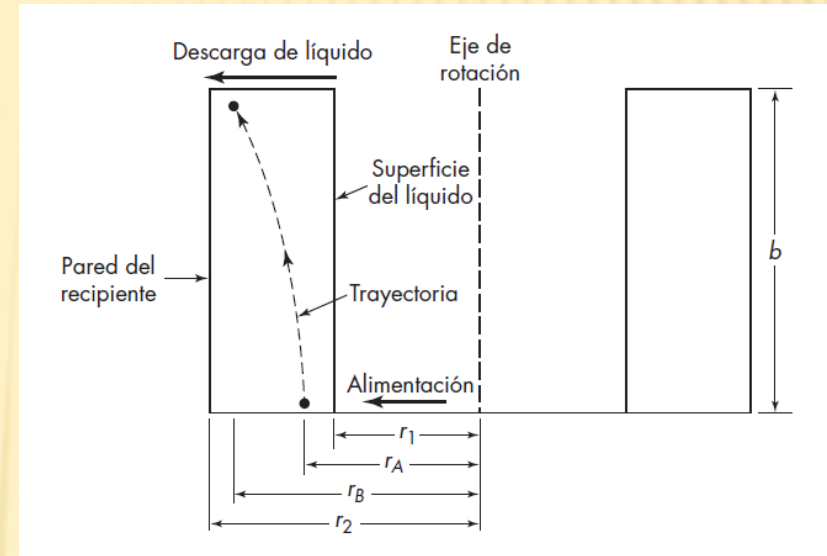
Tiempo de residencia

$$t_T = \frac{18\mu}{\omega^2 (\rho_p - \rho) D_p^2} \ln \frac{r_B}{r_A}$$

Tiempo de residencia = Volumen/Caudal

Caudal

$$q = \frac{\pi b \omega^2 (\rho_p - \rho) D_p^2}{18\mu} \frac{r_2^2 - r_1^2}{\ln(r_B/r_A)}$$



Se puede definir el *punto de corte* como el diámetro de la partícula que justamente alcanza la mitad de la distancia entre r_1 y r_2 .

Flujo volumétrico diámetro de corte

$$q_c = \frac{\pi b \omega^2 (\rho_p - \rho) D_{pc}^2}{18\mu} \frac{r_2^2 - r_1^2}{\ln[2r_2/(r_1 + r_2)]}$$

$$q_c = \frac{2V u_t}{s} = \frac{2V D_p^2 (\rho_p - \rho) \omega^2 r_2}{18\mu s}$$

$$u_t = \frac{D_p^2 (\rho_p - \rho) \omega^2 r_2}{18\mu}$$

FLOTACION

Operación en la que se separan sólidos finamente divididos por diferencia entre tensiones interfaciales en un sistema ternario agua-sólido-aire, separando los sólidos de interés como una espuma que flota

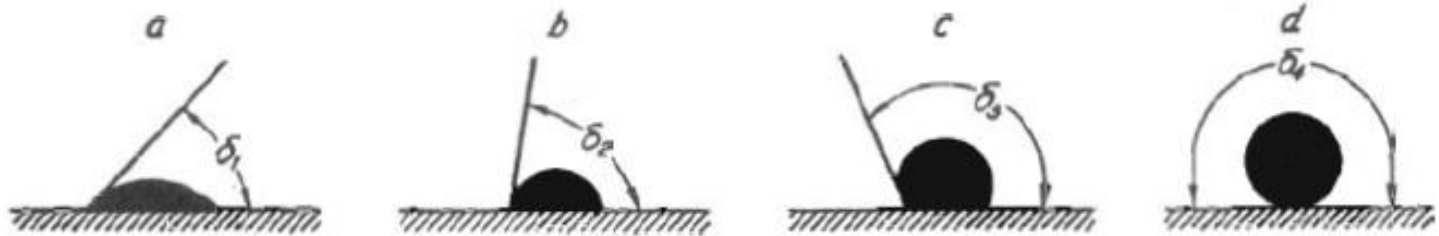


FIG. 12-24.— *Ángulos de contacto.* Sobre la superficie de un mismo sólido, expuesto al aire, se han depositado cuatro gotas, cada una de un líquido distinto. El ángulo de contacto, δ , distinto en cada caso, es tanto mayor cuanto menor es la capacidad del líquido para mojar el sólido y extenderse sobre su superficie.

Para mejorar estas propiedades se usan

- Espumantes
- Colectores
- Promotores
- Modificadores: pueden ser inhibidores o por el contrario activadores

Equipos industriales

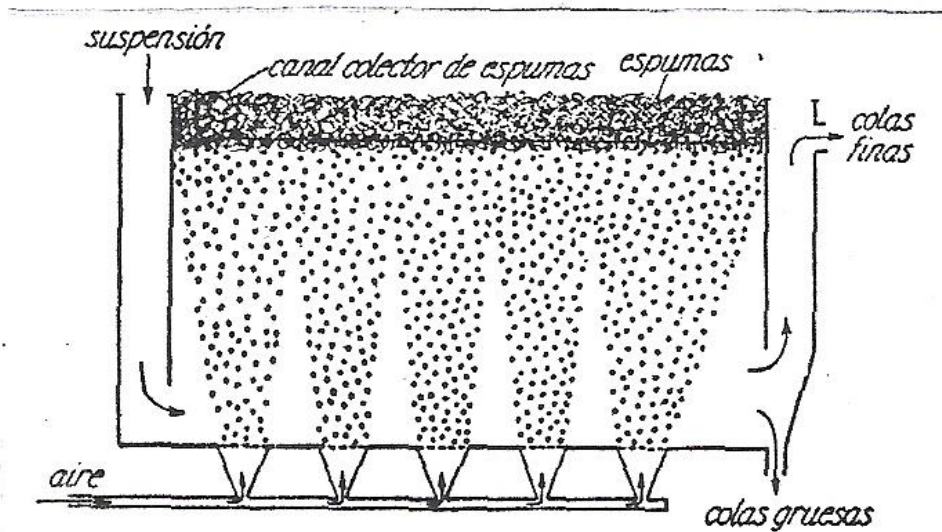


Fig. 2-15.—Vista esquemática, en sección longitudinal, de la célula de flotación de CALLOW.

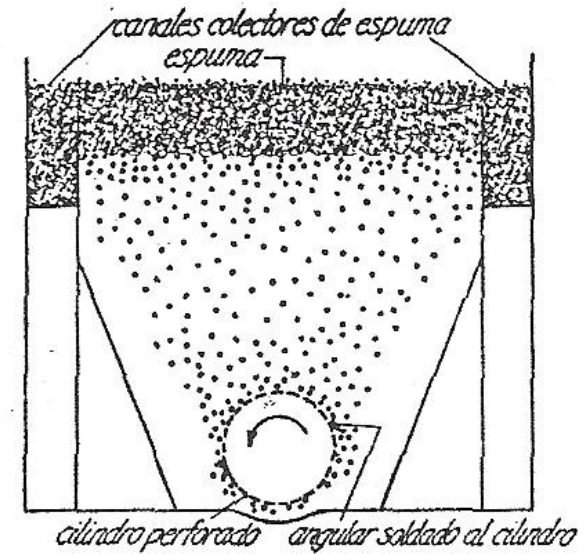
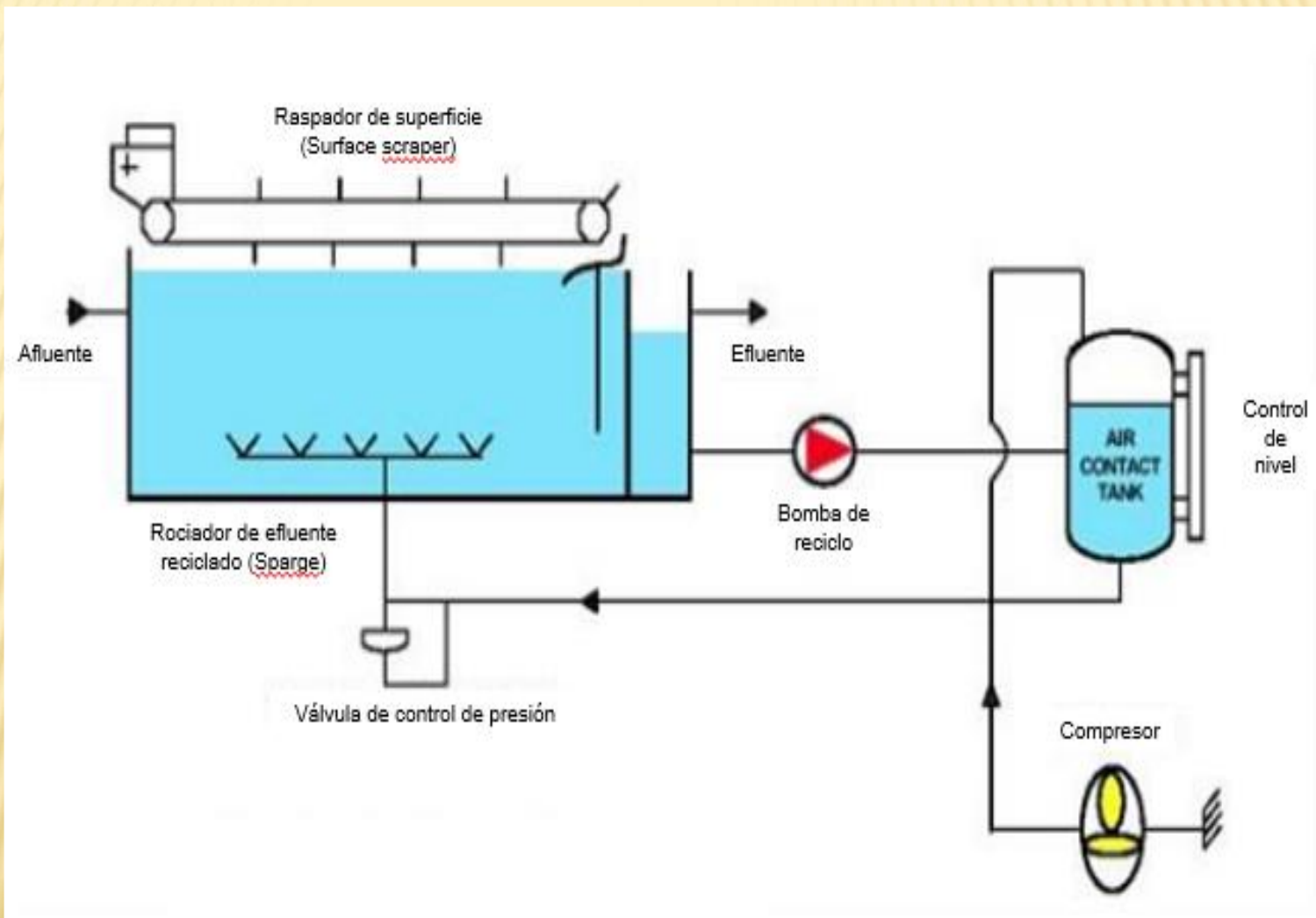


Fig. 2-16.—Sección transversal, esquemática, de la célula de flotación CALLOW-McINTOSH.

SEPARADOR DAF

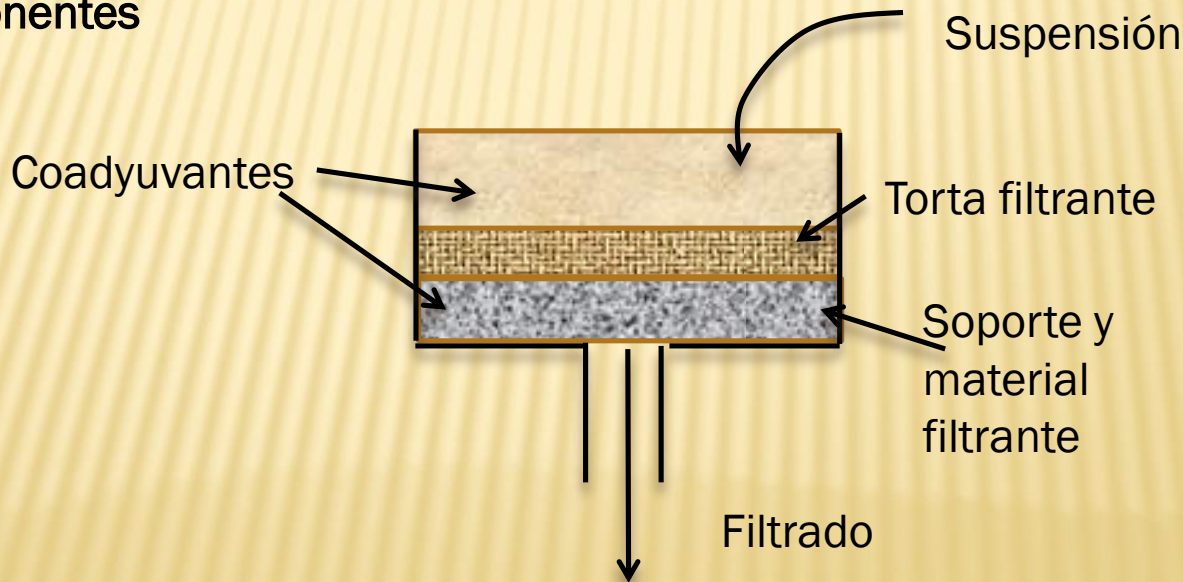


FILTRACION

Bibliografía: Operaciones Unitarias en Ing Química. Mc Cabe-Thiele- Cap 29
Elementos de Ing Química Vian Ocon Cap 14

La filtración es la separación de partículas sólidas a partir de un fluido mediante el paso del fluido a través de un medio filtrante o *pared separadora* sobre el que se depositan los sólidos. Las filtraciones industriales van desde un sencillo colado hasta separaciones altamente complejas. El fluido puede ser un líquido o un gas

Componentes

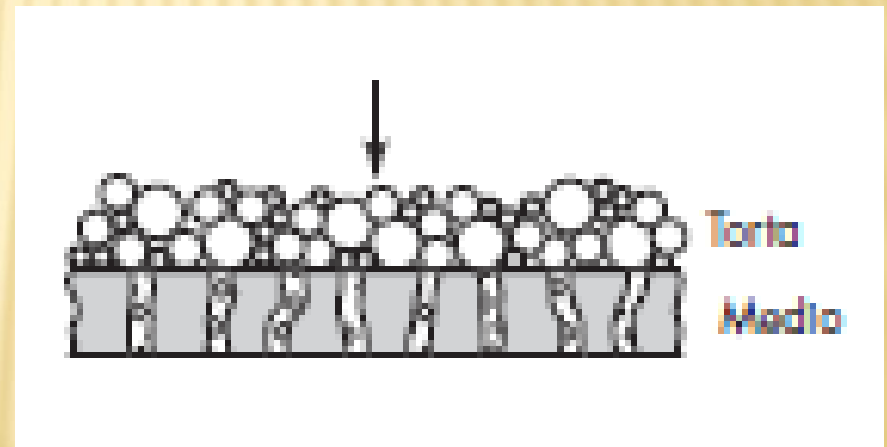


FILTRACION

Fuerza directriz: diferencia de presión entre ambas caras del material filtrante

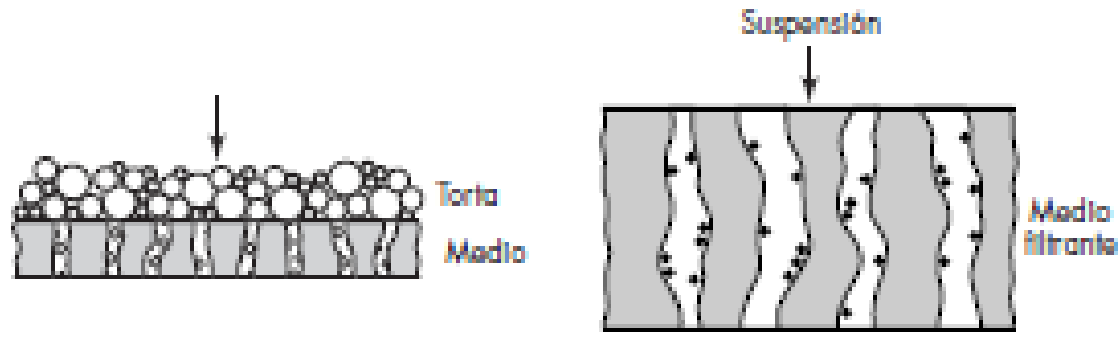
Etapas del proceso

- Preparación de la suspensión, agregado de coadyuvantes
- Preparación del material filtrante
- Formación de la torta
- Lavado de la torta
- Secado
- Separación de la torta



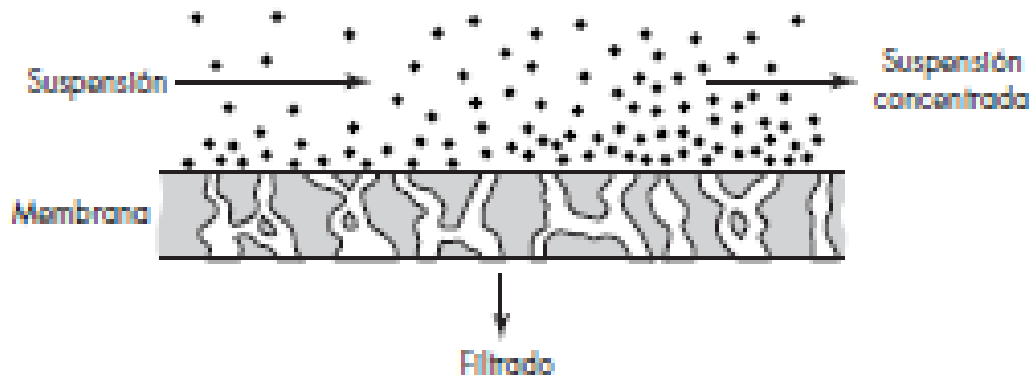
FILTROS

Clasificación de acuerdo a la función



Filtro de torta

Filtro de clarificación



Filtro de flujo tangencial

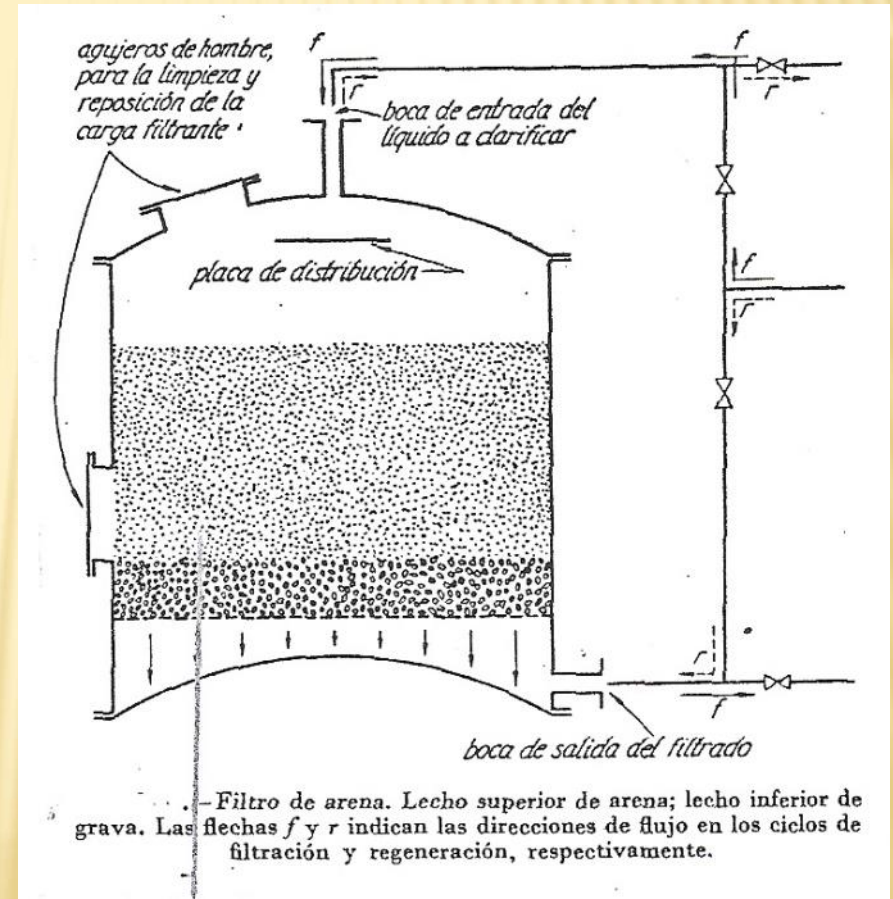
FILTROS

CLASIFICACION EN FUNCION DE LA FUERZA DIRECTRIZ

Filtro de gravedad



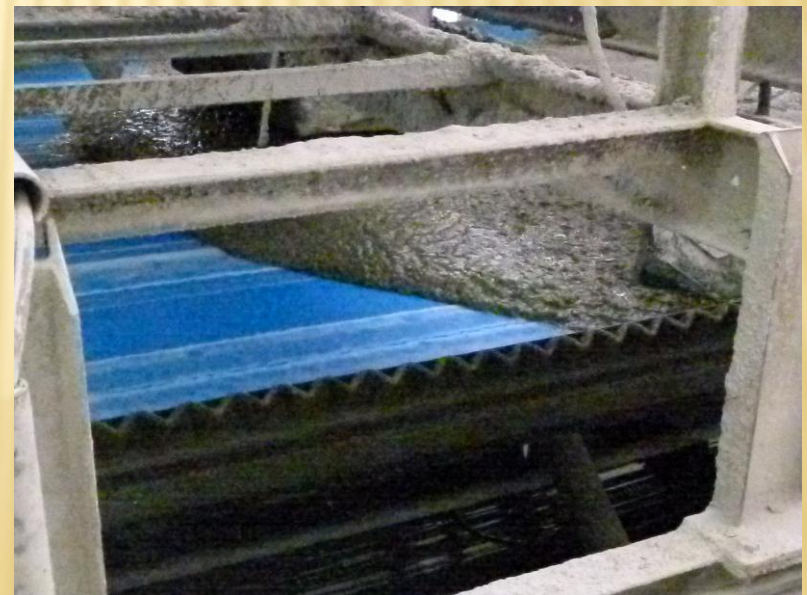
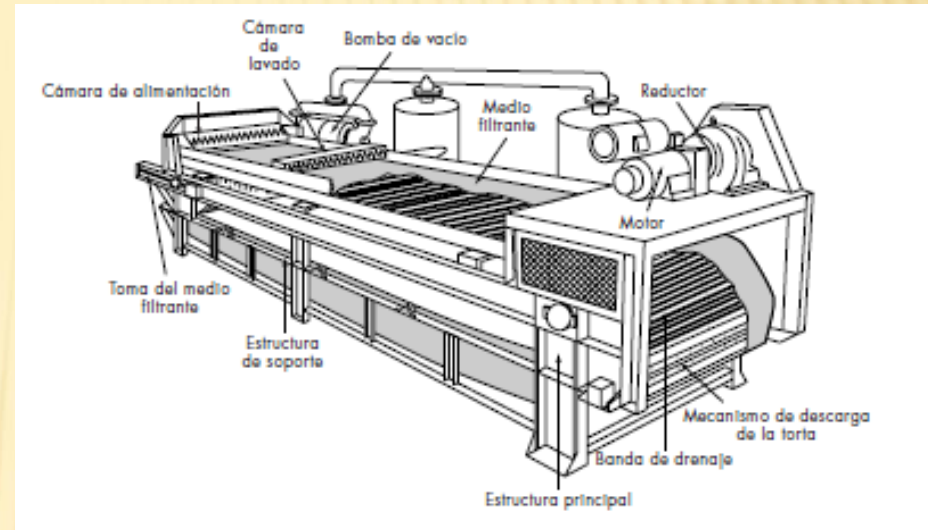
Grandes volúmenes con pocas partículas en suspensión. Son discontinuos

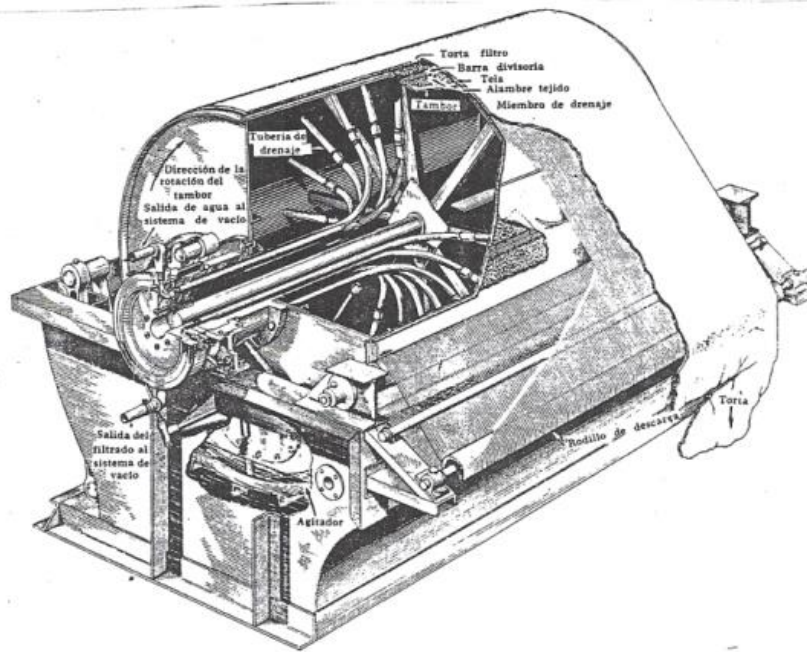


FILTROS

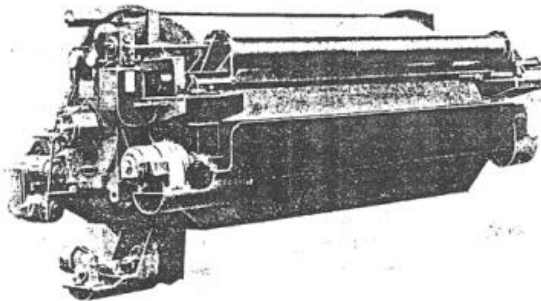
CLASIFICACION EN FUNCION DE LA FUERZA DIRECTRIZ

Filtros de vacío

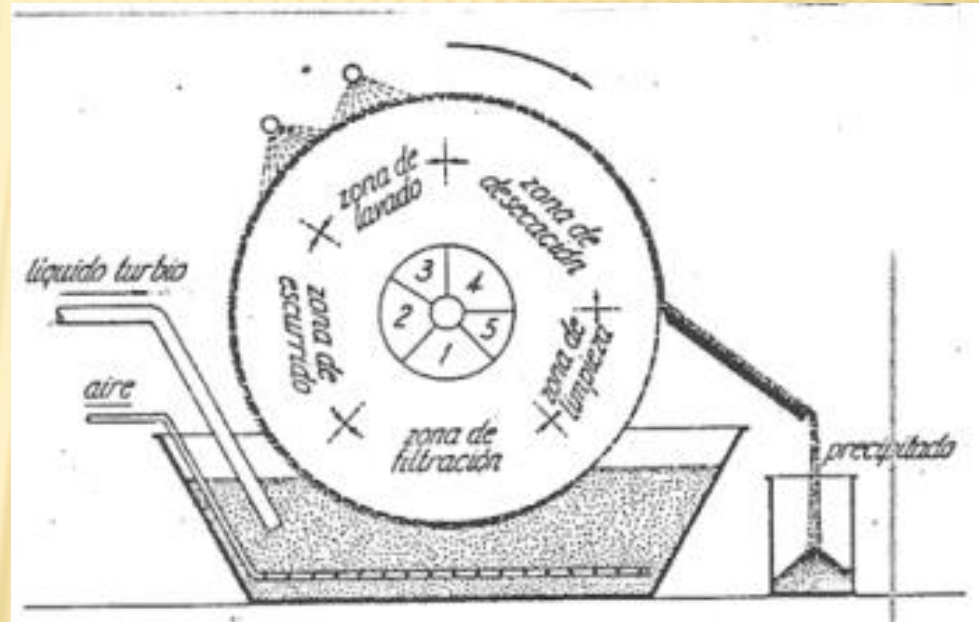




Dibujo esquemático de un filtro de vacío, de tambor rotativo y descarga de cadena.
 (Cortesía de Filtration Engineers Division, American Machine and Metals, Inc.)

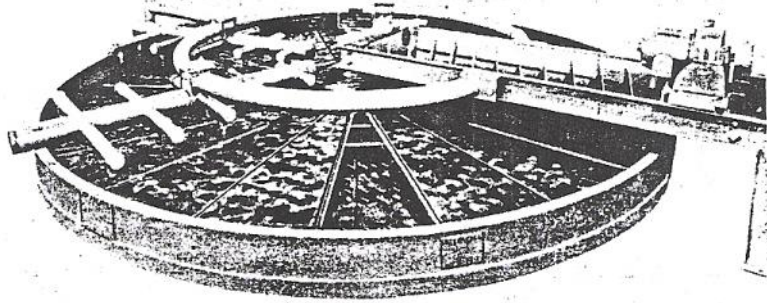


Filtro continuo, de vacío, de 5 pies 3 pulg de diámetro, 8 pies de superficie.
 (Cortesía de Dorr-Oliver, Inc.)



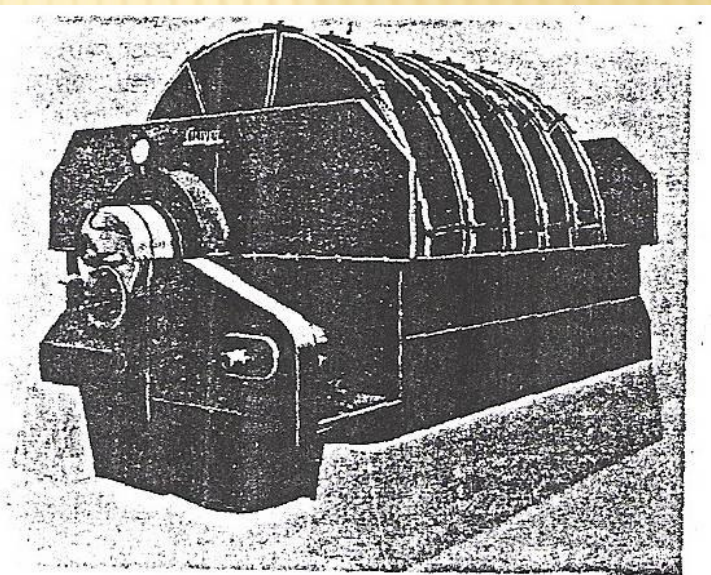


Filtro de tambor



Filtro de vacío rotatorio horizontal, que muestra la disposición de la tubería para los dos pasos de lavado y el mecanismo de desprendimiento de la torta. Una sección del medio filtrante se ha quitado para ilustrar el soporte de la cubierta y el declive de drenaje. (Cortesía de Dorr-Oliver Inc.)

Rodillo de descarga



Filtro de vacío de discos rotatorios de 8 pies de diámetro y 6 discos, mostrando el extremo donde se encuentra la válvula y el mecanismo de acción. (Cortesía de Dorr Oliver, Inc.)

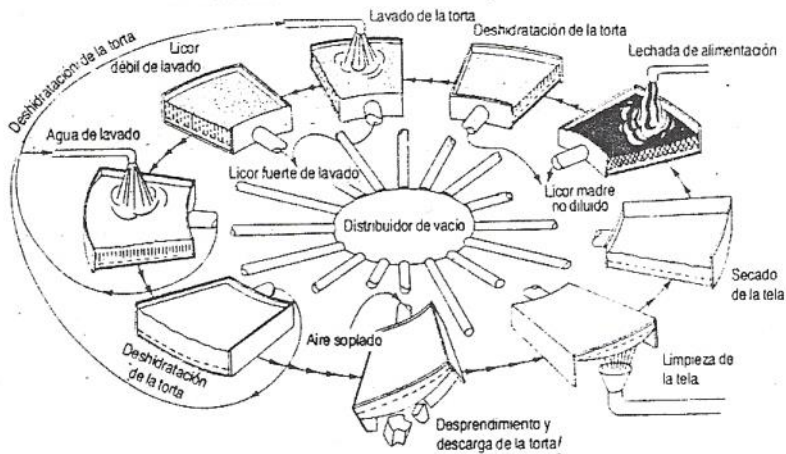
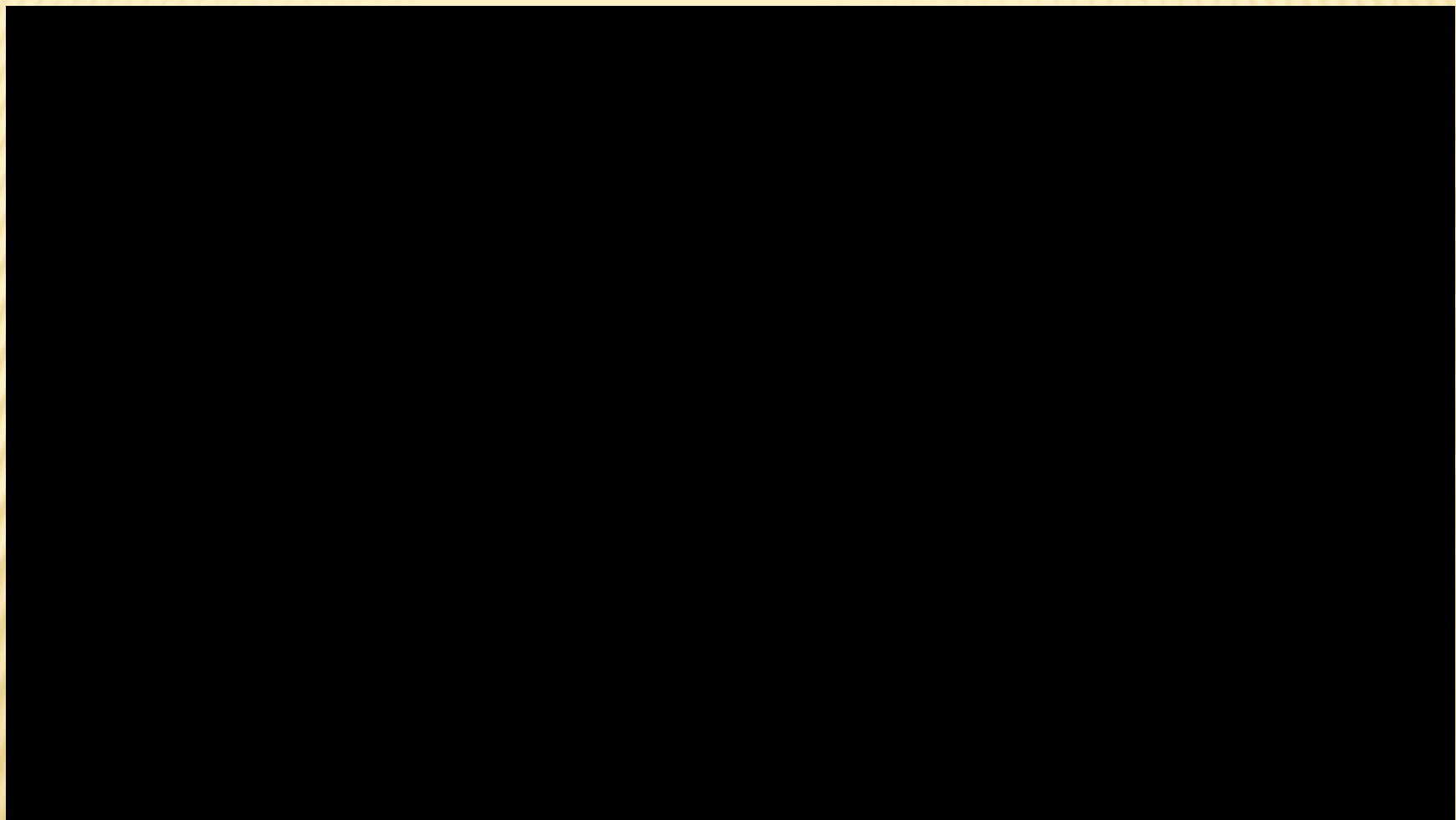
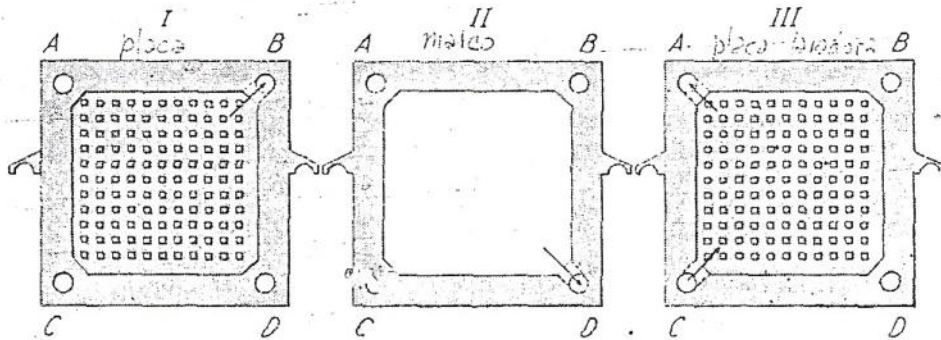


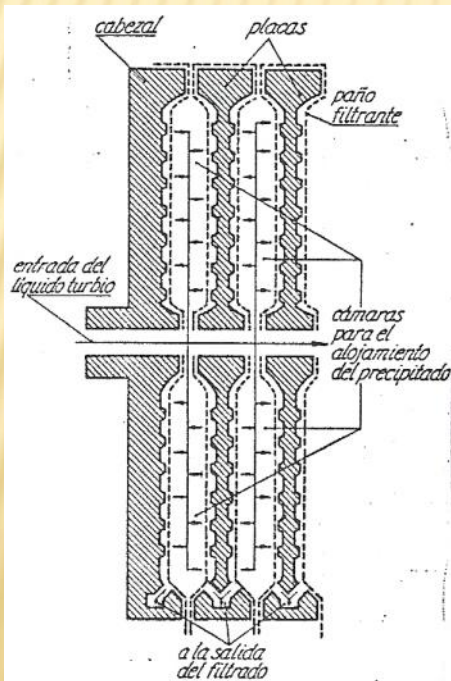
Diagrama esquemático que ilustra el ciclo del filtro de pailas inclinables Bird-Prayon. (Bird Machine Co.)



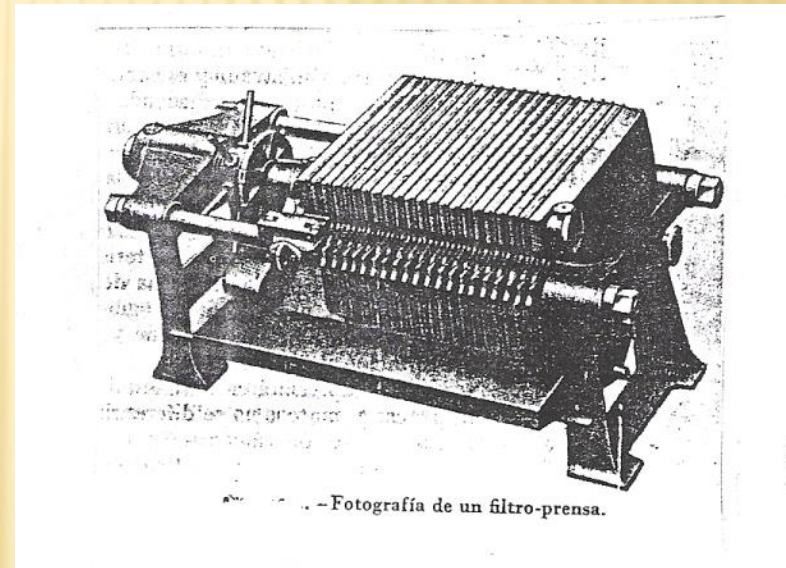
FILTROS DE PRESIÓN



—Placas I, II y III de un filtro-prensa.
 A, canal de salida del filtrado; B, canal de salida del filtrado o del líquido de lavado; C, canal de entrada del líquido de lavado; D, canal de entrada del líquido turbio.



—Filtro-prensa de cámaras.



—Fotografía de un filtro-prensa.



Filtro prensa
de marcos
y placas

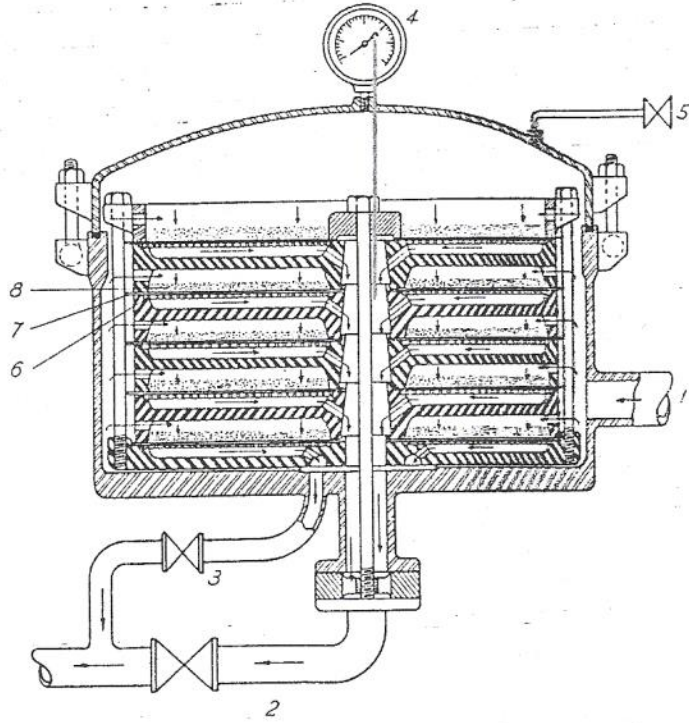
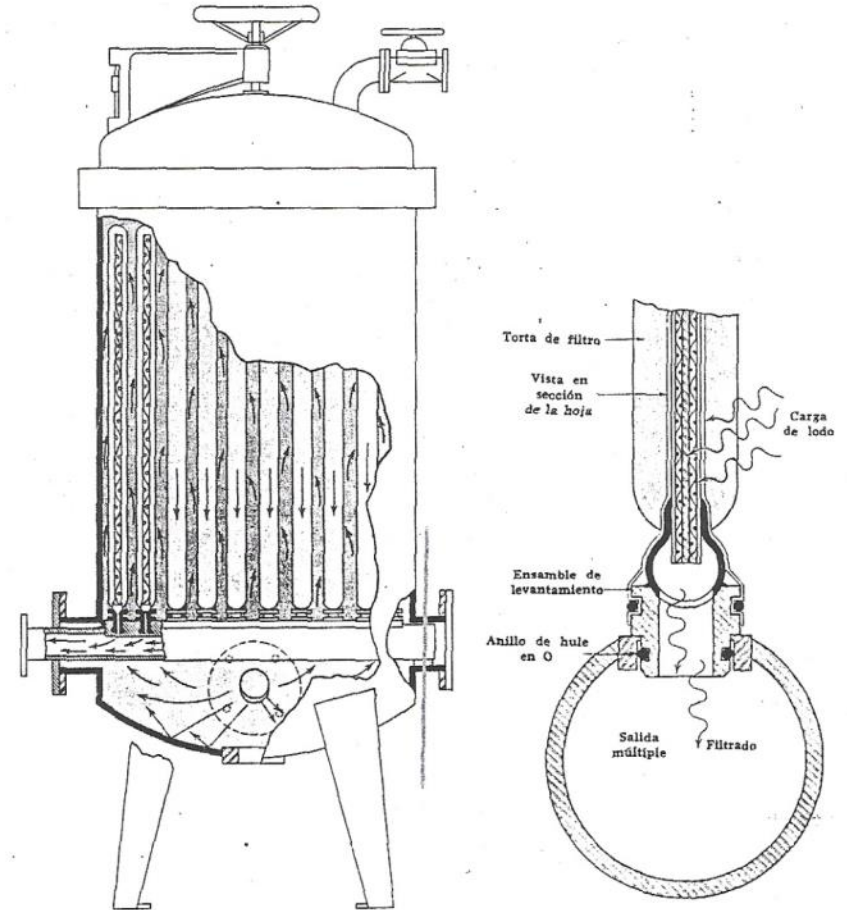


Fig. 10. - Filtro SPARKLE.

1, entrada del líquido turbio; 2, salida de filtrado; 3, salida independiente para el filtrado del plato inferior (de agotamiento); 4, manómetro; 5, purga de aire; 6, plato perforado (soporte del material filtrante); 7, material filtrante; 8, torta de precipitado.



Vista del corte de un filtro de hojas vertical, y diagrama seccional que muestra la construcción de la hoja filtrante. (Cortesía de Industrial Filter & Pump Mfg. Co)

FILTROS CENTRÍFUGOS

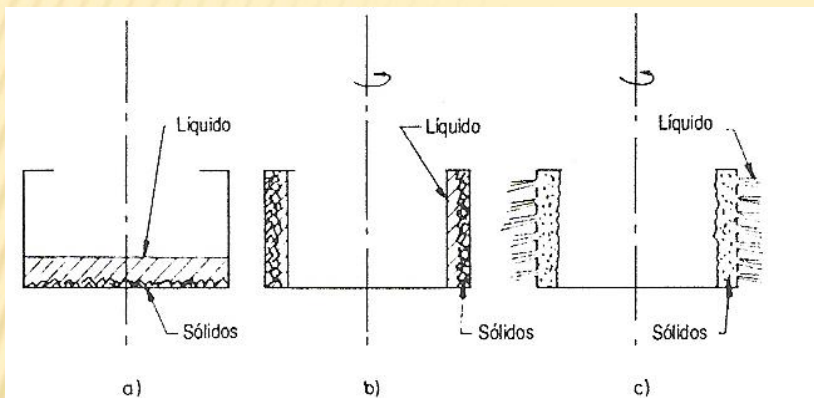
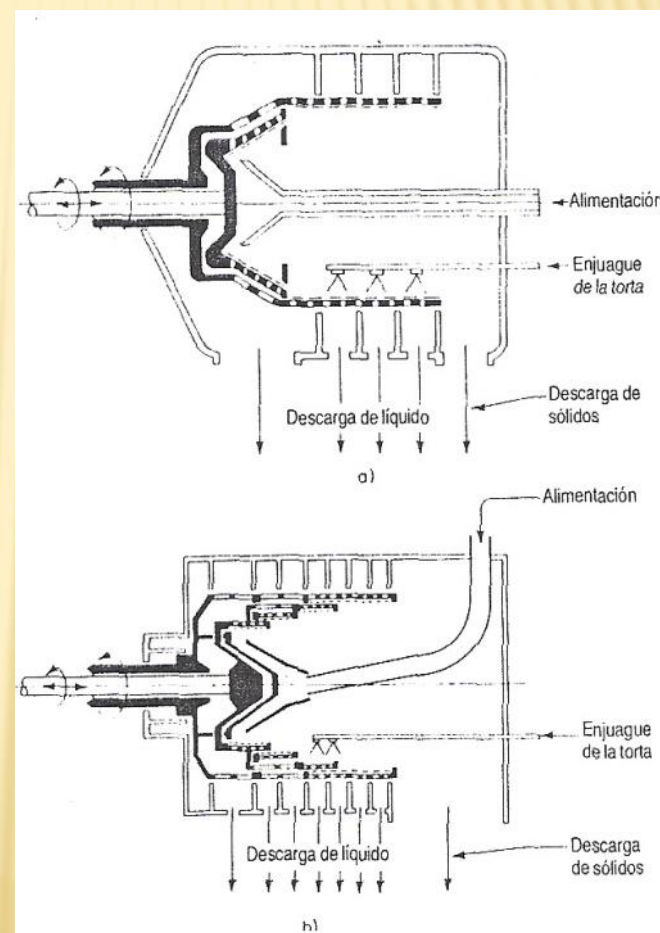
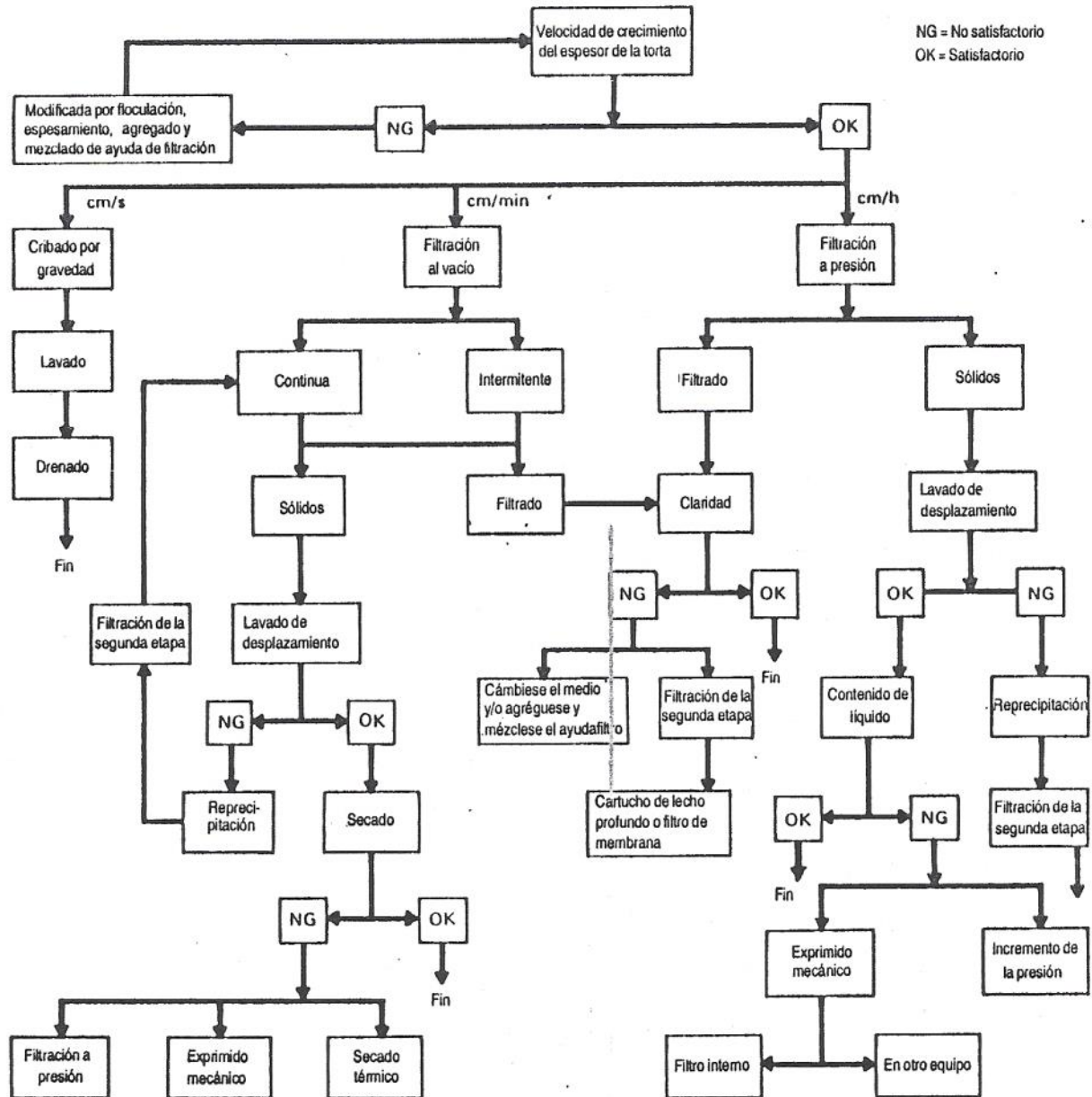


FIG. 19-117 Principios de filtración y separación centrífuga. a) Recipiente estacionario. b) Sedimentación en recipiente giratorio no perforado. c) Filtración en cesto giratorio perforado.



TEORÍA DE LA FILTRACIÓN

- × Selección del filtro
- × Material filtrante
- × Coadyuvante para la filtración
- × Filtración a velocidad constante $Q = \text{cte}$, $P \neq \text{cte}$
- × Filtración a presión constante $P = \text{cte}$, $Q \neq \text{cte}$
- × Filtración mixta
- × Lavado del filtrado



Modelo de decisión para la resolución de un problema de filtración. [Tiller, *Chem. Eng.*, 81(9), 118 (1974), con autorización.]

TEORÍA DE LA FILTRACIÓN

Resistencia a vencer por el líquido

$$\Delta P = \Delta P_t + \Delta P_{mf}$$

Pérdida de carga a través de la torta de filtración

$$dp/dL = 150 \mu v (1-\varepsilon)^2 / ((\Phi_s D_p)^2 \varepsilon^3)$$

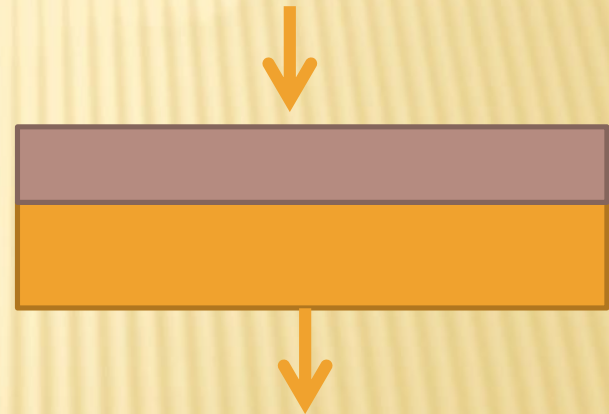
$$\Phi_s D_p = 6(v_p/s_p)$$

$$dp/dL = 4,17 \mu v (1-\varepsilon)^2 (s_p/v_p)^2$$

$$u = (dV/dt)/A$$

$$dm = \rho_p (1-\varepsilon) A dL$$

$$dp = \frac{k_1 \mu v (1-\varepsilon) (s_p/v_p)^2}{\rho_p A \varepsilon^3} dm$$



Torta incompresible

$$p_a - p' = \frac{k_1 \mu v (1-\varepsilon) (s_p/v_p)^2 m_c}{\rho_p A \varepsilon^3}$$

Resistencia específica de la torta

$$\alpha = \frac{\Delta p_c A}{\mu v m_c} = \frac{k_1 (1-\varepsilon) (s_p/v_p)^2}{\rho_p \varepsilon^3}$$

Para tortas incompresibles α es independiente de la presión

Resistencia del medio filtrante

Se define con analogía con la resistencia de la torta

$$R_m = \frac{p' - p_b}{\mu v} = \frac{\Delta p_m}{\mu v}$$

$$\Delta p = \mu v \left(\frac{m_c \alpha}{A} + R_m \right)$$

Si $m_c = Vc$

$$dt/dV = \frac{\mu}{A \cdot \Delta P} * \left(\frac{\alpha Vc}{A} + Rm \right)$$

Filtración a presión constante

Cuando $\Delta p = \text{constante}$

$$(dt/dV)_0 = \mu Rm / A \Delta P = 1/q_0$$

$$d t/dV = 1/q = K_c V + 1/q_0$$

$$K_c = \mu \alpha / (A_2 \Delta p)$$

$$t/V = (K_c/2)V + 1/q_0$$

Para α se puede obtener de ecuaciones empíricas en base a ensayos de laboratorio

Filtración a velocidad constante

$$v = (dV/dt)/A = V/At$$

$$\Delta p_c/\alpha = (\mu c/t)*(V/A)^2$$

Filtración centrífuga

$$v = (dV/dt)/A = q/A$$

$$\Delta p = q\mu((m_c\alpha)/A^2 + R_m/A) = \rho\omega^2(r_2^2-r_1^2)/2$$

$$q = \rho\omega^2(r_2^2-r_1^2)/ (2\mu(\alpha m_c/A^2+R_m/A))$$